



Sposób D. Reakcje Ic i Id z  $\omega$ -bromoacetofenonem przebiegają identycznie jak w przypadku analogów kwasu p-chlorobenzoowego, Ia, b [1] — uzyskano mieszaniny izomerycznych związków IIIf i IIIIf z wydajnością 47 i 34% oraz IIh i IIIh z wydajnością 58 i 15%. Nie stwierdzono także różnicy w przebiegu reakcji Ic z chloroacetonem, w której otrzymano tylko związek IIIe (92%). Natomiast wyraźne przesunięcie równowagi w kierunku układu hydrazonu 2-tiazolonu (II) wystąpiło w reakcji Id z chloroacetonem. Uzyskano mieszaninę izomerycznych IIg (23%) i IIIg (51%), podczas gdy Ib daje w tych warunkach tylko pochodną aminotiazoliny [1].

Sposób E. Reakcja z  $\omega$ -bromoacetofenonem daje, podobnie jak przy tiosemikarbazydach kwasu p-chlorobenzoowego Ia, b, tylko oksadiazole IVc (79%) i IVd (68%). Pewne różnice występują natomiast w reakcjach z chloroacetonem, gdzie w obu przypadkach powstaje wyłącznie tiazolina z jednakową wydajnością 90%. Ia i Ib dają mieszaniny pochodnych tiazoliny — III i odpowiednich oksadiazoli — IV.

Sposób F. Brak różnic. Otrzymano oksadiazol IVc (71%) i IVd (62%).

## CZĘŚĆ DOŚWIADCZALNA

### 1. Reakcja hydrazonu 4-R<sub>2</sub>-3-R-2-tiazolonu z chlorkiem kwasu p-nitrobenzoowego (Sposób A). (4-R<sub>2</sub>-3-R-tiazol-2-ilideno)-hydrazydy kwasu p-nitrobenzoowego (IIe-h)

Mieszaniny odpowiednich związków w ilościach przedstawionych w części I pkt 1 pozostawiono na 24 h w temperaturze pokojowej (IIIf, g) lub ogrzewano do wrzenia (IIe — 3 h; IIh — 0,5 h). Po oddzieleniu wytrąconego chorowodoru trietyloaminy przesącz rozcieńczano wodą (IIe) lub zatężano pod zmniejszonym ciśnieniem do ok. 1/3 objętości. Rozpuszczalniki do krystalizacji, postacie krystaliczne, temperatury topnienia i wydajności (Sposób A) oraz wyniki analizy elementarnej zestawiono w tab. 1.

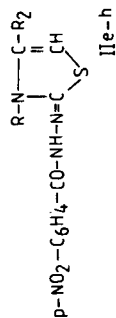
### 2. Reakcja 4-R<sub>2</sub>-3-R-tiazol-2-ionu z hydrazylem kwasu p-nitrobenzoowego w obecności N(C<sub>2</sub>H<sub>5</sub>)<sub>3</sub> (Sposób B). [4-R<sub>2</sub>-3-R-tiazol-2-ilideno]-hydrazydy kwasu p-nitrobenzoowego (IIe-h)

Wychodząc z odpowiednich związków postępowano jak w części I pkt 2. Rozpuszczalniki do krystalizacji, postacie krystaliczne, temperatury topnienia oraz wydajności (Sposób B) zestawiono w tab. 1.

### 3. Reakcja 4-R<sub>2</sub>-3-R-tiazol-2-ionu z hydrazylem kwasu p-nitrobenzoowego (Sposób C). 2-R-imino-3-(p-nitrobenzoiloamino)-4-R<sub>2</sub>-4-tiazoliny (IIIe-h)

Postępowano jak w części I pkt 2 z wyłączeniem trietyloaminy. Rozpuszczalniki do krystalizacji, postacie krystaliczne, temperatury topnienia, wydajności (Sposób C) oraz wyniki analizy elementarnej zestawiono w tab. 2.

Tabela 1


 (4-R<sub>2</sub>-3-R-tiazol-2-ilideno)-hydrydy kwasu p-nitrobenzoesowego

Związek nr	R	R <sub>2</sub>	Rozpuszczalnik do krystalizacji Postać krystaliczna t. t. °C	Wzór sumaryczny c. cz.	Analiza			IR pasmo grupy CO (amidowe I) (cm <sup>-1</sup> )	UV max/E (nm)	Sposób (Wydajność) %		
					Otrzymano					A	B	D
					%C	%H	%N					
IIe	C <sub>6</sub> H <sub>5</sub>	CH <sub>3</sub>	etanol słupki 185—187	C <sub>17</sub> H <sub>14</sub> N <sub>4</sub> O <sub>3</sub> S 354,39	57,59 57,85	3,98 4,18	15,81 15,65	260/15850	65	77	—	
IIIf	C <sub>6</sub> H <sub>5</sub>	C <sub>6</sub> H <sub>5</sub>	etanol igły 188—189	C <sub>22</sub> H <sub>16</sub> N <sub>4</sub> O <sub>3</sub> S 416,46	63,44 63,09	3,84 3,88	13,45 13,36	272/19200	84	77	47	
IIg	p-CH <sub>3</sub> -C <sub>6</sub> H <sub>4</sub>	CH <sub>3</sub>	etanol słupki 94—97	C <sub>18</sub> H <sub>16</sub> N <sub>4</sub> O <sub>3</sub> S 368,42	58,63 58,82	4,37 4,32	15,20 15,02	260/18900	37	43	23	
IIh	p-CH <sub>3</sub> -C <sub>6</sub> H <sub>4</sub>	C <sub>6</sub> H <sub>5</sub>	etanol czterwone igły 190—192	C <sub>23</sub> H <sub>18</sub> N <sub>4</sub> O <sub>3</sub> S 430,49	64,18 63,91	4,21 4,26	13,01 13,18	274/17650	53	47	58	



#### 4. Reakcja 4-R-tiosemikarbazydu kwasu p-nitrobenzoesowego Ic, d z chloroacetonem i $\omega$ -bromoacetofenonem

##### 4.1. W metanolu (Sposób D).

##### 4.1.1. Reakcja z chloroacetonem: związki IIIe, IIg i IIIg.

Stosując 4-fenyl- [3] lub 4-(p-tolilo)-tiosemikarbazydy kwasu p-nitrobenzoesowego [2] (Ic, d) postępowano jak w części I pkt 4.1.1. Ic — otrzymano związek IIIe, Id — surowy produkt krystalizowano z etanolu. Osad — związek IIIg, przesącz odparowywano pod zmniejszonym ciśnieniem do sucha otrzymując związek IIg. Rozpuszczalniki do krystalizacji, postaci krystaliczne, temperatury topnienia, wydajności (Sposób D) zestawiono w tab. 1 i 2.

##### 4.1.2. Reakcja z $\omega$ -bromoacetofenonem: związki IIIf, IIIf i IIIh, IIIh.

Mieszaninę 0,01 mola 4-fenyl- lub 4-(p-tolilo)-tiosemikarbazydu kwasu p-nitrobenzoesowego i 0,01 mola  $\omega$ -bromoacetofenonu w 30 cm<sup>3</sup> metanolu ogrzewano do wrzenia w ciągu 10 h. Ic — całość oziębiano i odsączano. Osad rozpuszczano we wrzącym etanolu, zobojętniano nasyconym wodnym roztworem octanu sodu otrzymując związek IIIf. Przesącz zobojętniano jak wyżej otrzymując związek IIIf. Id — roztwór po oziębieniu zobojętniano jak wyżej, wytrącony produkt odsączano i krystalizowano z etanolu. Osad — związek IIIh. Przesącz zatężano pod zmniejszonym ciśnieniem do ok. 1/4 objętości otrzymując związek IIIh. Rozpuszczalniki do krystalizacji, postaci krystaliczne, temperatury topnienia, wydajności (Sposób D) zestawiono w tab. 1 i 2.

##### 4.2. W metanolu i obecności bezwodnego CH<sub>3</sub>COONa (Sposób E).

##### 4.2.1. Reakcja z chloroacetonem: związki IIIe i IIIg.

0,01 mola 4-fenyl- lub 4-(p-tolilo)-tiosemikarbazydu kwasu p-nitrobenzoesowego, 0,02 mola chloroacetonu, 0,03 mola bezwodnego CH<sub>3</sub>COONa w 30 cm<sup>3</sup> metanolu utrzymywano w temperaturze wrzenia w ciągu 8 h. Ic — roztwór zatężano pod zmniejszonym ciśnieniem do ok. 1/3 objętości otrzymując związek IIIe. Id — całość oziębiano otrzymując związek IIIg. Rozpuszczalniki do krystalizacji, postaci krystaliczne, temperatury topnienia, wydajności (Sposób E) zestawiono w tab. 2.

##### 4.2.2. Reakcja z $\omega$ -bromoacetofenonem: związki IVc i IVd.

0,01 mola tiosemikarbazydu Ic lub Id, 0,01 mola  $\omega$ -bromoacetofenonu i 0,03 mola bezwodnego CH<sub>3</sub>COONa w 30 cm<sup>3</sup> metanolu utrzymywano w stanie wrzenia w ciągu 8 h, oziębiano, produkt krystalizowano z 2-metoksyetanolu.

2-Fenylamino-5-(p-nitrofenylo)-1,3,4-oksadiazol (IVc). Bezbarwne igły o t.t. 272—274°C, wydajność 79%.

Analiza:

Dla wzoru:  $C_{14}H_{10}N_4O_3$  (c. cz. 282,25)

obliczono: 59,57% C; 3,57% H; 19,84% N;

otrzymano: 59,32% C; 3,81% H; 19,90% N.

Mieszanina ze związkami otrzymanym według Silberga [4] topi się bez depresji.

5-(p-Nitrofenylo)-2-(p-toliloamino)-1,3,4-oksadiazol (IVd). Bezbarwne słupki o t.t. 264—266°C, wydajność 68%.

Analiza:

Dla wzoru:  $C_{15}H_{12}N_4O_3$  (c. cz. 296,29)

obliczono: 60,78% C; 4,86% H; 18,90% N;

otrzymano: 60,67% C; 4,66% H; 18,62% N.

Mieszanina ze związkami otrzymanym według Simiti [5] topi się bez depresji.

#### 4.3. W metanolu i obecności $N(C_2H_5)_3$ (Sposób F).

##### 4.3.1. Reakcja z chloroacetonem: związki IIIe i IIIg.

Mieszanina 0,01 mola odpowiedniego tiosemikarbazydu (Ic, Id), 0,02 mola chloroacetonu i 0,01 mola trietyloaminy w 35 cm<sup>3</sup> metanolu ogrzewano do wrzenia w ciągu 5 h, oziębiano otrzymując związek IIIe lub IIIg. Rozpuszczalniki do krystalizacji, postaci krystaliczne, temperatury topnienia, wydajności (Sposób F) zestawione są w tab. 2.

##### 4.3.2. Reakcja z $\omega$ -bromoacetofenonem: związki IVc i IV d.

Stosując 0,01 mola odpowiedniego tiosemikarbazydu,  $\omega$ -bromoacetofenonu i trietyloaminy postępowano jak w pkt 4.2.2 otrzymując oksadiazol IVc (71%), IVd (62%). Mieszaniny z odpowiednimi związkami otrzymanymi w pkt 4.2.2. topią się bez depresji.

#### 5. Hydroliza zasadowa związków IIe, IIg i IIIe, IIIg: 2-R-amino-5-(p-nitrofenylo)-1,3,4-oksadiazole IVc, IVd

0,01 mola związku w odpowiedniej objętości 10% wodnego roztworu NaOH utrzymywano określony czas w stanie wrzenia, oziębiano, produkt odsączało, przemywano wodą i krystalizowano z 2-metoksyetanolu. Związek, objętość roztworu NaOH w cm<sup>3</sup>, czas ogrzewania, wydajność oksadiazolu: IIe — 60, 3 h, 27%; IIg — 80, 2 h, 10%; IIIe — 70, 5 h, 53%; IIIg — 80, 2 h, 64%.

## 6. Hydroliza kwaśna związków IIe-h i IIIe-h: 3-amino-2-R-imino-4-R<sub>2</sub>-tiazoliny i ich pochodne p-nitrobenzylidenowe

0,01 mola związku w podanej niżej objętości stężonego HCl ogrzewano określony czas do wrzenia, oziębiano, oddzielano kwas p-nitrobenzoesowy i zobojętniano stężonym NH<sub>3</sub> do *pH* = 7. Związek, objętości stężonego HCl w cm<sup>3</sup>, czas ogrzewania, wydajność tiazoliny: IIe — 70, 3 h, 68%; IIIf — 190, 10 h, 71%; IIg — 70, 10 h, 68%; IIh — 180, 10 h, 61%; IIIe — 60, 2 h, 72%; IIIIf — 180, 15 h, 84%; IIIg — 60, 7 h, 85%; IIIh — 70, 10 h, 74%.

### Pochodne p-nitrobenzylidenowe.

Wychodząc z 0,01 mola odpowiedniej tiazoliny i aldehydu p-nitrobenzoesowego postępowano jak w części I pkt 6.

## PIŚMIENNICTWO

1. Bielak E., Biliński S.: Reakcje 1-(X-benzoilo)-4-R-tiosemikarbazydu z chloroacetonem i ω-bromoacetofenonem. I. 4-fenyl- i 4-(p-tolilo)-tiosemikarbazyd kwasu p-chlorobenzoesowego. *Ann. Univ. M. Curie-Skłodowska, Lublin, Sectio D* **45**, 113, 1990.
2. Ghelen H., Moeckel K.: 2-Amino-1,3,4-oxadiazoles. XI. Preparation of 2-Amino-1,3,4-oxadiazoles from Acylated Semicarbazones. *Ann.* **660**, 144, 1968.
3. Silberg A., Simiti J.: Addition an Senföle. *Chem. Zentr.* **130**, 14096, 1959.
4. Silberg A., Cosma N.: On Some Addition to Senvols. II. The Additions of Some Arylhydrazide to Phenylsenevol and the Behaviour of the Products Thus Obtained. *Studii Cercetarii Chim.* **10**, 151, 1959.
5. Simiti J., Ghiran D.: Behaviour of 1-Aroyl-4-arylthiosemicarbazides in the Presence of Alkylating Agents. *Farmacia* **19** (4), 199, 1971.

Otrzymano 1990.10.22.

## SUMMARY

The reactions of 4-phenyl- and 4-(p-tolyl)-thiosemicarbazide of p-nitrobenzoic acid (Ic, d) with chloroacetone and ω-bromoacetophenone were investigated in: 1) methanolic medium (method D); 2) methanolic medium in the presence of anhydrous CH<sub>3</sub>COONa (method E); 3) methanolic medium in the presence of N(C<sub>2</sub>H<sub>5</sub>)<sub>3</sub> (method F). The properties of compounds IIe-h and IIIe-h were determined under the conditions of basic and acidic hydrolysis. The results of UV and IR spectroscopic measurements were reported.

